



Research Paper

## Investigation of the Financial Factors Affecting the Growth of Listed Companies on the Tehran Stock Exchange<sup>1</sup>

S. Fatemeh Hosseini<sup>†</sup>, Reza Raei<sup>†</sup>, Shapour Mohammadi<sup>†</sup>

Received: 2021/03/13

Accepted: 2022/01/04

### Abstract

Modeling the joint distribution of liquidity and return to determine the dependency structure of a 15-stock portfolio using intraday data in 2019 provides a suitable model for the commonalities. Based on the complexities of higher dimensions multivariate modeling (combined distribution of liquidity and return), after univariate modeling of the stocks' liquidity based on Autoregressive Conditional Poisson model (ACP) and the returns with the Generalized Autoregressive Conditional Heteroscedastic (GARCH), the marginal distributions were incorporated into a Copula Vine to model the dependency. The findings of this study, based on high-dimensional high-frequency data, indicate that there is an extreme nonlinear correlation between the liquidity of stocks and also between liquidity and returns across the portfolio, which is necessary to take into account in risk assessments to prevent inaccurate assessment of risk indicators such as value at risk. In addition, the results have shown that modeling the joint distribution of liquidity and stock returns in high dimensions relying on the Copula Vine model due to the flexibility performs well.

**Keywords:** liquidity, Copula-Vine, High Dimension, ACP

**JEL Classification:** G11, G17

- 
1. DOI: 10.22051/JFM.2022.35450.2521
  2. Ph.D. candidate of Finance at Tehran University, Corresponding Author. Email: sfhosseini@ut.ac.ir.
  3. Professor of Finance at Tehran University, Email: raei@ut.ac.ir.
  4. Associate Professor of Finance at Tehran University. Email: shmohmad@ut.ac.ir.



## مقاله پژوهشی

## مدل‌سازی ساختار وابستگی نقدشوندگی و بازدهی سبدی از سهام با داده‌های پرسامد

در بورس تهران با رویکرد <sup>۱</sup>ACP-GARCH-High Dimension Vine Copulaسیده فاطمه حسینی<sup>۲</sup>، رضا راعی<sup>۳</sup>، شاپور محمدی<sup>۴</sup>

تاریخ پذیرش: ۱۳۹۹/۰۱/۰۱

تاریخ دریافت: ۱۳۹۹/۰۵/۰۶

## چکیده

این پژوهش با استفاده از داده‌های ۱۵ سهم از ۷ گروه صنعتی مختلف در بازه ۵ دقیقه‌ای طی روز در سال ۱۳۹۸ به ارائه مدلی برای ساختار وابستگی نقدشوندگی و بازدهی سبدی از سهام در بورس اوراق بهادار تهران پرداخته است. در این راستا، به علت پیچیدگی‌های ناشی از مدل‌سازی توانمندی بیش از ۳۰ متغیر (توزیع توانمندی نقدشوندگی و بازدهی)، پس از مدل‌سازی تک متغیره نقدشوندگی هر یک از سهم‌ها بر مبنای مدل پواسون خودرگرسیو شرطی (ACP) و بازدهی هر سهم بر مبنای مدل خودرگرسیون تعیین‌یافته شرطی ناهمسانی واریانس (GARCH)، از توزیع‌های حاشیه‌ای مزبور برای مدل‌سازی توزیع توانمندی روش کاپیولا واین (Copula vine) استفاده گردید. یافته‌های مبتنی بر داده‌های پرسامد نشان داد میان نقدشوندگی سهم‌ها و همچنین میان نقدشوندگی و بازدهی سهم‌ها با یکدیگر همیستگی قوی غیرخطی دنباله‌ای وجود دارد. بنابراین، ارزیابی دقیق تر ریسک ایجاد می‌کند شاخص‌هایی نظیر ارزش در معرض خطر مورد توجه قرار گیرد. به علاوه، نتایج پژوهش حاضر نشان داد مدل‌سازی توزیع توانمندی نقدشوندگی و بازدهی سهام در ابعاد زیاد با تکیه بر کاپیولا واین به دلیل انعطاف بالا، برآش مناسبی برای توزیع توانمندی نقدشوندگی و بازدهی دارای همیستگی قوی غیرخطی دنباله‌ای ارایه می‌دهد.

واژگان کلیدی: نقدشوندگی، کاپیولا-واین، ابعاد بالا، ACP

طبقه‌بندی JEL: G11, G17

۱. کد DOI مقاله: 10.22051/JFM.2022.35450.2521

۲. دانشجوی دکتری مدیریت مالی، گروه مدیریت مالی و بیمه، دانشکده مدیریت، دانشگاه تهران، تهران، ایران.  
Email:sfhosseini@ut.ac.ir  
(نویسنده مسئول)۳. استاد گروه مدیریت مالی و بیمه، دانشکده مدیریت، دانشگاه تهران، تهران، ایران.  
Email:raei@ut.ac.ir  
۴. دانشیار گروه مدیریت مالی و بیمه، دانشکده مدیریت، دانشگاه تهران، تهران، ایران.  
Email:shmohmad@ut.ac.ir

## مقدمه

نقدشوندگی عامل به شدت تأثیرگذاری در بازارهای مالی است و در ادبیات مالی نیز از آن به عنوان یکی از عوامل مؤثر بر بازده سهام یاد شده است. بنابراین در موقعیت‌های بحرانی که شکاف بین بهترین مظنه خرید-فروش به شدت افزایش و تعداد معاملات چنان کاهش می‌یابد که راهبردهای مدیریت ریسک مبتنی بر پایه معاملات پویا<sup>۱</sup> ناکارآمد می‌گردند و به زیان‌های بسیار بزرگتر از میزان پیش‌بینی شده می‌انجامد، ضروری است که اثر نقدشوندگی در محاسبات مربوط به ریسک گنجانده شود. زیرا، نقدشوندگی بالای سهام از طریق کاهش دامنه نوسان و هزینه‌های معاملاتی، هزینه سرمایه‌گذاران را کاهش می‌دهد. از این رو می‌توان گفت هرچه شکاف مظنه خرید-فروش کمتر باشد، هزینه معامله پایین‌تر آمده و این ریسک نقدشوندگی کمتری را متوجه سرمایه‌گذار می‌کند. همان‌گونه که در شهریورماه سال ۱۳۹۹ رشد قیمت‌های سهام در بازار سهام روند معکوسی به خود گرفت و با سقوط قیمت‌ها و هجمه یک باره سهامداران برای فروش، کاهش شدید نقدشوندگی موجب نگرانی شدید سرمایه‌گذاران شد. البته، بروز چنین شرایطی هم برای ناظران بازار تأمین با چالش است. بر این اساس، درنظر گرفتن ساختار وابستگی بازدهی و نقدشوندگی سهام توسط سرمایه‌گذاران در ارزیابی و پیش‌بینی ریسک تعديل شده با نقدشوندگی ضروری است.

اما، جستجوی نگارندگان مطالعه حاضر نشان داد بررسی ساختار همبستگی نقدشوندگی و بازدهی - خصوصاً پژوهش‌های مبتنی بر ریسک نقدشوندگی طی روز - در جهان بسیار محدود و در بازار سرمایه ایران بی‌سابقه است. این در صورتی است که برای معامله‌گران پرسامد که از ارزیابی‌های ریسک نقدشوندگی طی روز استفاده می‌کنند، کیفیت، کمیت و چگونگی ساختار وابستگی نقدشوندگی و بازدهی بر مبنای داده‌های طی روز اهمیت فراوانی دارد. از سویی، ادبیات حوزه نقدشوندگی عمدتاً متکی بر مطالعه تک‌سهم است و بررسی آن در سبدی از سهام نسبتاً محدود است.

به همین دلیل، پژوهش پیش رو با هدف پوشش شکاف مطالعاتی یاد شده به مدل‌سازی ساختار توزيع توأمان نقدشوندگی و بازدهی به صورت فاصله مظنه خرید-فروش و بازدهی لگاریتمی، بر مبنای داده‌های طی روز و پرفراوانی در بورس تهران برای سبدی از سهام با ابعاد بالا پرداخته که طبق اطلاع نوسنگان، در داخل و خارج از کشور منحصر به فرد است. مبتنی است مدل‌سازی توزیع توأمان نقدشوندگی و بازدهی بین ۱۵ سهم به علت پیچیدگی‌های ناشی از افزایش بعد، به مدل‌های منعطف نیاز دارد. بنابراین، در این پژوهش، پس از مدل‌سازی تک متغیره نقدشوندگی و بازدهی هر سهم، از روش کاپیولا<sup>۲</sup> و این برای ارائه ساختار همبستگی بین توزیع‌های حاشیه‌ای بازده و نقدشوندگی بین سبد سهام مورد بررسی (شامل ۳۰ متغیر) استفاده شده است.

در ادامه، ساختار این پژوهش به ترتیب از بخش‌های مبانی نظری، مروری بر پیشینه پژوهش، روش‌شناسی پژوهش، تجزیه و تحلیل داده‌ها و آزمون فرضیه‌ها و نتیجه‌گیری و بحث تشکیل یافته است.

۱. Dynamic Trading  
۲. Copula Vine

## مبانی نظری

در ادبیات مالی، مدل‌سازی نقدشوندگی با داده‌های پربسامد پیش‌بینی سری‌های زمانی گستته از موضوعات مورد توجه بوده است. اما گروپ-کلوبمن و هاسچ<sup>۱</sup> (۲۰۱۱) نشان دادند در سری‌های زمانی گستته، مدل‌های سری زمانی پواسون<sup>۲</sup> نسبت به مدل‌های ARFIMA، ARMA، ACD و FIACD پیش‌بینی دقیق‌تری ارائه می‌نمایند. بنابراین در پژوهش خود که بر روی سهام بازارهای NYSE و NASDAQ انجام گذیرفت به معرفی یک مدل با حافظه بلندمدت از پواسون شرطی خودرگرسیون جهت سری‌های زمانی شمارشی پرداختند که این اولین روش اقتصادسنجی مختص مدل‌سازی و پیش‌بینی شکاف مظنه‌های خرید و فروش در فرکانس بالا به شمار می‌رود. با توجه به گستگی قیمت‌ها، شکاف مظنه‌های خرید و فروش مضری از حداقل تغییرات قیمت هستند و یک سری زمانی از متغیرهای شمارشی شکل می‌دهند. همچنین آنها نشان دادند که شکاف مظنه‌های خرید و فروش به صورت سریالی همبستگی قوی داشته و دارای الگوی فصلی هستند.

در پژوهش دیگری توزیع مشترک شکاف مظنه‌های خرید و فروش و بازده طی روز سبدی از سهام مورد تحلیل قرار گرفته که بر اساس این مدل پیشنهادی عملکرد مطلوبی از پیش‌بینی سود و زیان تعديل شده با نقدشوندگی طی روز برای پرتوفی و همچنین رفتارهای واپستگی نامتقارن دنبالهای بازدهی و نقدشوندگی گزارش شده است (ویب و ساپر<sup>۳</sup>، ۲۰۱۳).

تحلیل آماری داده‌های شمارشی سابقه طولانی و غنی دارد و توزیع پواسون در تحلیل این نوع داده‌ها نقش کلیدی ایفا می‌کند. در مدل‌های مبتنی بر توزیع نرمال، میانگین و واریانس معمولاً از هم مستقل هستند، در حالی که در بعضی از توزیع‌ها مانند پواسون، میانگین و واریانس به هم واپستاند و یکی از ویژگی‌های کلیدی توزیع پواسون برابری میانگین و واریانس آن است. نخستین بار زگر<sup>۴</sup> (۱۹۸۸) برای مدل‌سازی تعداد موارد ماهانه فلجه اطفال در آمریکا در بازه سال‌های ۱۹۷۰ تا ۱۹۸۳ از مدل‌های خودرگرسیون پواسون شرطی استفاده نمود. در مدل او فرض بر وجود بیش واریانسی و خودرگرسیونی پنهان در سری زمانی است. هاینن<sup>۵</sup> (۲۰۰۳) به معرفی مدل‌های جدیدی برای سری‌های زمانی شمارشی پرداخته است. در مدل‌سازی این نوع سری نیاز است که به طور همزمان به گستگی داده‌ها با صراحت و ویژگی‌های سری زمانی آن توجه شود. هاینن پیشنهاد نمود از یک مدل شرطی پواسون<sup>۶</sup> استفاده شود. جهت آزمون‌های رایج برای تخمین مدل‌ها از روش حداکثر درست‌نمایی استفاده می‌کند. یافته‌های پژوهش

۱. Groß-Klußmann & Hautsch

۲. Poisson

۳. Weiss & Sapper

۴. Zeger

۵. Heinen

۶. Autoregressive Conditional Poisson (ACP)

او نشان داد مدل شرطی پواسون توابع پیش‌بینی خوبی را از این سنجه نوسانات نشان می‌دهد. ادبیات مالی پیرامون پیش‌بینی سری زمانی شکاف مظنه خرید-فروش با پژوهش کاتیویله و پیرینو<sup>۱</sup> (۲۰۱۹) همچنان مؤید اثرگذاری این روش مدل‌سازی شکاف مظنه خرید-فروش است. ضمناً برای مواردی که اثر فصلی مورد توجه است لحاظ کردن این اثر را پیشنهاد نمودند.

در عین حال، ادبیاتی به صورت مجزا با تمرکز بر سری‌های زمانی به مدل‌سازی دینامیک نوسانات درون روز بازده به طور مستقیم پرداخته‌اند که مبتنی بر روش‌شناسی آرج<sup>۲</sup> مطرح توسط انگل<sup>۳</sup> (۱۹۸۲) رشد یافته‌اند.

در ادامه جهت مدل‌سازی تأمین نقدشوندگی و بازدهی که مدل‌سازی تابع حاشیه‌ای آنها، ادبیات مالی موجود پیرامون مدل‌سازی چندمتغیره مرور شده است. تلاش برای مدل‌سازی‌های چندمتغیره به معرفی توابع کاپیولا توسط اسکلار<sup>۴</sup> (۱۹۵۹) منجر گردید که اجزاء می‌دهد توزیع‌های حاشیه‌ای با هم به صورت جفت و به صورت توزیع توان مورد مطالعه قرار گیرند. نخستین کاربردهای کاپیولا در علوم اقتصادی و مالی اکثراً در حالت دومتغیره مورد استفاده قرار گرفته که از آن جمله به امیرچت و همکاران<sup>۵</sup> (۲۰۰۳)، پالارو و هوتا<sup>۶</sup> (۲۰۰۶) ژو و چن<sup>۷</sup> (۲۰۱۲) می‌توان اشاره کرد که بنابر ویژگی‌های انعطاف‌پذیری تابع کاپیولا و امکان برآورد واقعی خودرگرسیون برداری<sup>۸</sup> از آن استفاده کرده‌اند. آنها در مطالعات خود نشان دادند که چگونه استفاده از کاپیولا در محاسبه مدل خودرگرسیون برداری به طور قابل توجهی باعث بهبود نتایج می‌گردد. کروپسکی و جو<sup>۹</sup> (۲۰۲۰) نیز به بررسی مدل‌های چند متغیره منعطف با ساختار وابستگی دینامیک برای کاربردهای مالی پرداخته‌اند.

با توجه به واقعیات اقتصادی و اثرگذاری متغیرهای متعدد در پدیده‌های اقتصادی، مطالعات اخیر کاربرد کاپیولا برای ابعاد بالاتر را مورد توجه قرار داده است. هرچند استفاده از کاپیولا برای دو متغیر یا به کارگیری آن در ابعاد پایین همچنان مرسوم است. اما بسیاری از پژوهشگران به پژوهش‌هایی روی ابعاد بالاتر پرداخته‌اند. از جمله دال و همکاران<sup>۱۰</sup> (۲۰۰۳) با پیشنهاد کاپیولای گروه تی<sup>۱۱</sup> نشان دادند که این کاپیولا قادر است تا صد متغیر را در نظر بگیرد.

اما هدف از انجام این پژوهش، مدل‌سازی ساختار همبستگی نقدشوندگی و بازدهی سبدی از سهام با انتکابردادهای پرفراوانی درون روز است. برای این منظور، ابتدا از مدل پواسون اتورگرسیون دوگانه برای مدل‌سازی نقدشوندگی و از مدل

۱. Cattivelli & Pirino

۲. Autoregressive Conditional Heteroskedasticity

۳. Engle

۴. Sklar

۵. Emberchat et al

۶. Palaro & Hota

۷. Xu & Chen

۸. Vector Autoregression (VAR)

۹. Krupskii & Joe

۱۰. Daul et al

۱۱. Grouped t-Copula

گارج برای مدل‌سازی بازده سهام استفاده شده است. سپس برای ارائه مدل چند متغیره توزیع مشترک بازده و نقدشوندگی از روش کاپیولای واین با بعد بیش از ۱۰ سهم استفاده شده است.

#### مروری بر پیشینه پژوهش

اگرچه تمرکز مطالعات تجربی و نظری اولیه روی نقدشوندگی تک‌سهم‌ها تمرکز داشت. اما تحلیل هم‌حرکتی<sup>۱</sup> در نقدشوندگی میان سهم‌ها پایه‌ای در ادبیات به وجود آورد تا مقالات پیشرو در این زمینه توسعه کوردیا و همکاران<sup>۲</sup> (۲۰۰۰)، هاسبروک و سپی<sup>۳</sup> (۲۰۰۱) و هابرمن و هالکا<sup>۴</sup> (۲۰۰۱) به رشتہ تحریر درآید. از آن به بعد مطالعات روی مشترکات<sup>۵</sup> در نقدشوندگی متفقاً شواهد تجربی روشی برای مشترکات قوی در نقدشوندگی (که شکاف مظنه‌های خرید و فروش عامل آن باشد) پیدا شد. عوامل موجوده چنین اشتراکی در نقدشوندگی را کارولی و همکاران<sup>۶</sup> (۲۰۱۲) بررسی کردند و دریافتند اشتراک در نقدشوندگی همیستگی مثبتی با نوسان بالای بازار دارد. بالاترین میزان مشترکات در نقدشوندگی سهام در ۴۰ کشور مورد مطالعه در چین مشاهده شد. به علاوه اشتراک در نقدشوندگی مخصوصاً طی بحران مالی آسیا و بحران مالی سال ۲۰۰۸، بسیار قوی بود. بنابراین ضرورت در نظر گرفتن ریسک نقدشوندگی در مدل‌سازی ریسک چندگانه برجسته شد. در سال ۲۰۰۹ نیز آزمون‌های تشخیصی ساختار وابستگی بین بازده سهام در طی روز و شکاف مظنه‌های خرید-فروش برای شرکت‌های منتخب از نزدک به کار رفت<sup>۷</sup> و نشان داد بین شکاف مظنه‌های خرید-فروش در هر سهم همبستگی قوی دنباله‌ای وجود دارد.

در همین حال پژوهش‌های اخیر نظری مشیریان و همکاران<sup>۸</sup> (۲۰۱۷) به بررسی عوامل مشترکات نقدشوندگی طی روز و مقایسه آن در نقاط مختلف جهان پرداخته‌اند. نتایج نشان داد مشترکات نقدشوندگی در کشورهای با محیط اقتصادی ضعیفتر، بالاتر است. همچنین مشترکات نقدشوندگی در کشورهایی که سرمایه‌گذاران از پوشش‌های حمایتی کمتری برخوردارند، بیشتر است. مالچنیچه و همکاران<sup>۹</sup> (۲۰۱۹) نیز با بررسی عوامل هم‌حرکتی در بازارهای مالی در معاملات پرسامد نشان دادند که معاملات پرسامد خود موجب افزایش معنادار هم‌حرکتی در بازدهی و نقدشوندگی می‌شوند.

گونگ و همکاران<sup>۱۰</sup> (۲۰۱۸) نیز با مدل‌سازی ساختار همبستگی بازدهی و نقدشوندگی پر فراوانی در بازار آینده برای شاخص CSI300 و در بازه‌های ۵ دقیقه‌ای نشان دادند وابستگی نامتقارن است و

۱. Comovement

۲. Kordia et al

۳. Hasbrook & Sepi

۴. Haberman & Halka

۵. Commonality

۶. Karolyi et al

۷. اگرچه سایر سنجه‌های نقدشوندگی هم می‌توانست به کار گرفته شود. لازم به ذکر است که در اکثر پژوهش‌های در حوزه مدیریت ریسک، از دامنک پیشنهادی-درخواستی برای اندازه‌گیری نقدشوندگی استفاده می‌شود.

۸. Moshirian et al

۹. Malceniece et al

۱۰. Gong et al

کاهش شدید در بازدهها با افزایش شدید شکاف مظنه خرید-فروش همزمان است. اما معکوس آن تأیید نشد.

### روش‌شناسی پژوهش

از آنجا که پژوهش حاضر پیرامون مدل‌سازی نقدشوندگی و بازده سهام و مدل‌های مبتنی بر سری زمانی انجام شده است، شکاف مظنه خرید و فروش و همچنین بازده سهام در بازه‌های ۵ دقیقه‌ای طی روز متغیرهای اصلی پژوهش را شکل می‌دهند.

### مدل‌سازی شکاف مظنه خرید و فروش طی روز

وجود نقدشوندگی عاملی ضروری برای افزایش ثبات بازارهای مالی است. بطوطی که کاهش نقدشوندگی در بخش‌های مختلف بازار و یا حتی برای یک ابزار مالی خاص، می‌تواند مشکلاتی را به وجود آورد که بازارهای مالی به هم پیوسته را حتی در سراسر دنیا تحت تأثیر قرار دهد و موجب بروز بحران گردد. منظور از نقدشوندگی نیز توانایی و میزان آمادگی دارایی‌ها برای تبدیل به وجه نقد است که شکاف مطلق مظنه‌های پیشنهادی خرید-فروش رایج ترین معیار برای سنجش نقدشوندگی سهام در ادبیات مالی به شمار می‌رود که در پژوهش حاضر نیز از آن استفاده شده است.

برای مدل‌سازی سری‌های زمانی شمارشی نیاز است که گسستگی داده‌ها و به‌طور همزمان ویژگی‌های سری زمانی آن با صراحت مورد توجه واقع شود. یک مسئله رایج در میان این داده‌ها، خودهمبسته بودن و ویژگی دیگر آنها بیش‌واریانسی است (واریانس بزرگتر از میانگین است). در مدل‌سازی نقدشوندگی، از توزیع پواسون استفاده شده که بنابر خاصیت داده‌های شمارشی در تحلیل این داده‌ها نقش کلیدی دارد. در مدل‌های مبتنی بر توزیع نرمال، میانگین و واریانس معمولاً از هم مستقل هستند، در حالی که در بعضی از توزیع‌ها مانند پواسون، میانگین و واریانس به هم وابسته‌اند و یکی از ویژگی‌های کلیدی توزیع پواسون برابری میانگین و واریانس آن است. به این مشخصه توزیع پواسون هم‌واریانسی اطلاق می‌گردد. هر چند که اغلب داده‌های شمارشی از خود بیش‌واریانسی نشان می‌دهند. مدل‌سازی میانگین به عنوان فرآیند خودگرسیو باعث تولید بیش‌واریانسی حتی در مدل ساده پواسون می‌گردد. به دلیل محدودیتی که در برابری واریانس با میانگین پیش روی قرار می‌گیرد، همان‌گونه که پیش‌تر در ادبیات پژوهش اشاره شد، اغلب از مدل‌های تعییم‌یافته برای مدل‌سازی داده‌های شمارشی بیش پراکنده استفاده می‌گردد.

برای درنظر گرفتن ملاحظات فوق و اجتناب از فرآیندهایی پیچیده‌ای که تخمین داده‌های درون روز را مشکل می‌سازد، از مدل خودهمبستگی پواسون شرطی معرفی شده توسط هاینن (۲۰۰۳) برای مدل‌سازی شکاف مظنه خرید و فروش (سنجه نقدشوندگی) که سری زمانی از داده‌های طی روز گسسته را تشکیل می‌دهد استفاده شده است.

در همین راستا اگر  $A_{i,j}^k$  بهترین مظنه فروش و  $B_{i,j}^k$  بهترین مظنه خرید باشد، شکاف مظنه خرید و فروش ( $S_{i,j}^k$ ) برای سهم  $k$  ام در نزدیک‌ترین لحظه به زمان  $j$  ام و در روز  $i$  ام از روزهای معامله خواهد بود.

با فرض آن که  $d$  تعداد سهم‌های مورد مطالعه،  $N$  تعداد مشاهدات در هر روز و  $M$  تعداد روزهای معامله در نمونه باشد، خواهیم داشت:

$$I = [1, M] \cap N$$

$$J = [0, N - 1] \cap \{N \cup 0\}$$

$$k = [1, d] \cap N$$

در همین حال نیز  $P(\mu_{i,j}^k | F_{i,j-1}^k)$  فرآیند ACP(p,q) برای  $\{S_{i,j}^k\}$  به شرح زیر معرف توزیع مدل پواسون شرطی بحث شده برای نمونه مدنظر باشد:

$$S_{i,j}^k | F_{i,j-1}^k \sim P(\mu_{i,j}^k) \quad \text{رابطه (1)}$$

$$E[S_{i,j}^k | F_{i,j-1}^k] = \mu_{i,j}^k \quad \text{رابطه (2)}$$

$$\mu_{i,j}^k = \omega_k + \alpha_k S_{i,j}^k + \beta_k \mu_{i,j-1}^k \quad \text{رابطه (3)}$$

که در آن  $i \in I$  و  $k \in k$  و برای  $\alpha_k$  و  $\beta_k$  و  $\omega_k$  مثبت. در توزیع چگالی توزیع شکاف مظنه خرید و فروش سهم  $k$  ام با نماد  $S_{i,j}^k$  برای  $y \in \{N \cup 0\}$  به شرح زیر خواهد بود:

$$P(S_{i,j}^k = y | \mu_{i,j}^k) = \frac{e^{-\mu} \mu_{i,j}^k}{y!} \quad \text{رابطه (4)}$$

بر اساس قضیه میانگین غیرشرطی ACP(p,q) چنان‌چه  $1 < \alpha_k + \beta_k$  مدل (3) به شکل مانا با میانگین غیرشرطی زیر محاسبه گردد:

$$E[S_{i,j}^k] = \mu_{i,j}^k = \frac{\omega_k}{1 - (\alpha_k + \beta_k)} \quad \text{رابطه (5)}$$

رابطه بالا نشان‌دهنده آن است که جمع ضریب خودرگرسیو کمتر از یک باشد، مدل مانا است.

همچنین بر اساس قضیه واریانس غیرشرطی مدل ACP(1,1) میانگین شرطی آن به شکل زیر خواهد بود:

$$V[S_{i,j}^k] = \sigma^2 = \mu_{i,j}^k \frac{(1 - (\alpha_k + \beta_k)^2 + \alpha_k^2)}{1 - (\alpha_k + \beta_k)^2} \geq \mu_{i,j}^k \quad \text{رابطه (6)}$$

این قضیه نشان‌دهنده آن است که ACP بدون شرط، بیشواریانس به نمایش می‌گذارد، هرچند از توزیع شرطی همواریانس استفاده می‌کند. مادامی که  $0 \neq \alpha_k$  و میزان بیشواریانسی تابع فرایندهای از  $\alpha_k$  باشد و همچنین تا حدود کمتری فرایندهای از  $\beta_k$  باشد مدل بیشپراکنده خواهد بود.

با استفاده از روش حداکثر درستنمایی، مدل ACP برای هر یک از سهم‌های  $k$  به شرح زیر تخمین زده خواهد شد:

$$\log \mathcal{L}(\theta, \mu_k) = \sum_i \sum_j \left( - + \frac{1}{2} \log(\gamma_k) - \gamma_k \lambda_{i,j}^k + \gamma_k S_{i,j}^k \left( 1 + \log \left( \frac{\lambda_{i,j}^k}{S_{i,j}^k} \right) \right) \right) \quad \text{رابطه (7)}$$

که در آن  $\theta = (\omega_k, \alpha_1, \dots, \alpha_k, \beta_1, \dots, \beta_k)$  دربرگیرنده همه پارامترهای تابع چگالی شرطی خودرگرسیو شکاف مطنه خرید و فروش است.

#### مدل‌سازی بازده‌های طی روز با استفاده از فرآیند گارچ<sup>۱</sup>

برای مدل‌سازی بازده طی روز با تمرکز بر سری‌های زمانی از مدل‌سازی دینامیک نوسانات درون روز استفاده شده که بر مبنای فرآیند گارچ که مبتنی بر روش‌شناسی آرج<sup>۲</sup> است. این روش توسط انگل (۱۹۸۲) مطرح، توسط بولسلف<sup>۳</sup> (۱۹۸۶) ارائه و جیوت (۲۰۰۵) آن را توسعه داد. در این روش واریانس هر دوره نه تنها تابعی از مجذور جملات خطای دوره‌های گذشته (مطابق مدل آرج) است، بلکه تابعی از واریانس دوره‌های قبل نیز می‌باشد.

اگر قیمت میانه سهم  $k$  ام در نزدیک‌ترین بازه زمانی ۵ دقیقه‌ای  $j$  ام در روز  $i$  ام صورت زیر باشد

$$P_{i,j}^k := \frac{A_{i,j}^k + B_{i,j}^k}{2} \quad \text{رابطه (8)}$$

به نحوی که نمادگذاری بخش قبلی هم ذکر شد.  $i \in I, k \in K, j \in J$

پس از استخراج داده‌های بین روز، بازده ۵ دقیقه‌ای برای سهم  $k$  در روز  $i$  و ۵ دقیقه  $j$  برای بازده سهم مورد نظر طبق رابطه زیر به روش لگاریتمی محاسبه می‌گردد. علت استفاده از این روش آن است که بازده در روش لگاریتمی به صورت پیوسته محاسبه می‌گردد.

$$R_{i,j}^k = \log(P_{i,j}^k) - \log(P_{i,j-1}^k) \quad \text{رابطه (9)}$$

اگر واریانس با مجذور اجزای اخلال  $p$  دوره قبل و واریانس  $q$  دوره قبل مرتبط باشد، یک مدل گارچ (p, q) تشکیل شده که به شرح زیر است:

$$h_{i,j}^k = \omega + \sum_{p=1}^p \alpha_p^k (\varepsilon_{i,j-p}^k)^2 h_{i,j-q}^k + \sum_{q=1}^q \beta_q^k h_{i,j-q}^k; \quad \varepsilon_{i,j}^k \sim \text{IIDN}(0, h_{i,j}^k) \quad \text{رابطه (10)}$$

۱. GARCH

۲. ARCH

۳. Bollerslev

$h_{i,j}^k$ : واریانس دوره  $j$

$\omega$ : مقدار ثابت به مثابه میانگین

$(\varepsilon_{i,j-p}^k)^2$ : مجدور جملات خطا در دوره  $p - j$

$h_{i,j-q}^k$ : واریانس پیش‌بینی شده در دوره  $q - j$

در عبارت بالا بایستی شروط زیر برقرار باشد:

$$\omega > 0; \alpha_p^k, \beta_q^k \geq 0; \sum (\alpha_p^k + \beta_q^k) < 1$$

پارامترهای مدل یعنی مقادیر  $\omega$  و  $\alpha_p^k$  و  $\beta_q^k$  از طریق روش حداکثر درست‌نمایی تخمین زده می‌شوند.

مقادیر  $\beta$  بزرگتر حاکی از ثبات نوسانات است و تا تعییر، مدت طولانی تری را نیاز دارد.

به نظر جیوت (۲۰۰۳) برای مدل‌سازی نوسانات درون روز در مدل‌سازی بازدهی، فرآیند گارچ

استاندارد (۱۰) به شکل مناسب عمل می‌کند و برای آن خواهیم داشت:

$$R_{i,j}^k = \mu_k + \varepsilon_{i,j}^k \sqrt{h_{i,j}^k}, \quad (10)$$

$$h_{i,j}^k = \omega_k + \alpha_1^k (\varepsilon_{i,j-1}^k)^2 h_{i,j-1}^k + \beta_1^k h_{i,j-1}^k \quad (11)$$

### مدل‌سازی توزیع مشترک نقدشوندگی و بازدهی با استفاده از کاپیولای خوش‌های

در راستای مدل‌سازی چند متغیره توزیع مشترک شکاف مظنه خرید و فروش و نیز بازده با اتكا به داده‌های طی روز (داده‌های پرفراوانی) سبدی از سهام، از مدل کاپیولا واین استفاده شده که برای مواجهه با مسئله افزایش بعد و توزیع داده‌های غیرترمال که در قسمت دنباله پهن تر هستند، توصیه می‌شود. علاوه‌بر این کاپیولای واین از اجزای سازنده‌ای تحت عنوان (سازه‌های جفتی) بهره می‌گیرند که وابستگی‌های شرطی بین دو متغیر را ترسیم می‌کنند. کاپیولا ما را قادر به استخراج ساختار وابستگی از طریق تابع توزیع مشترک و تفکیک ساختار وابستگی از تابع توزیع حاشیه‌ای می‌نماید.

اعطاف کاپیولا واین برای مدل‌سازی ساختار وابستگی بین بازده و نقدشوندگی چند سهم که بسیار پیچیده است، مناسب می‌باشد. چرا که این امکان را می‌دهد تا جفت‌های دومتغیره بازده، و یا شکاف مظنه خرید و فروش به صورت مجزا مدل‌سازی شوند. علاوه‌بر این، سازه‌های کاپیولاها جفتی امکان مدل‌سازی‌های ساختارهای پیچیده وابستگی نظیر وابستگی نامتقارن و یا وابستگی قوی دنباله‌های را نیز می‌دهند.

اسکلار (۱۹۵۹) بیان می‌کند که یک توزیع مشترک  $n$  بعدی می‌تواند به  $n$  توزیع حاشیه‌ای تک‌متغیره و یک کاپیولای  $n$  متغیره تجزیه گردد. اگر  $Y = (Y_1, Y_2, \dots, Y_n)^T$  یک بردار تصادفی با تابع توزیع تجمعی  $F$  باشد و برای هر  $i \in \{1, 2, \dots, n\}$  توزیع حاشیه‌ای  $y_i$  را  $F_i$  بنامیم، یک کاپیولا بصورت  $C: [0,1]^n \rightarrow [0,1]$  وجود دارد، به‌طوری که برای همه مقادیر  $y \in \mathbb{R}^n$   $y = (y_1, y_2, \dots, y_n) \in \mathbb{R}^n$  عبارت زیر برقرار است.



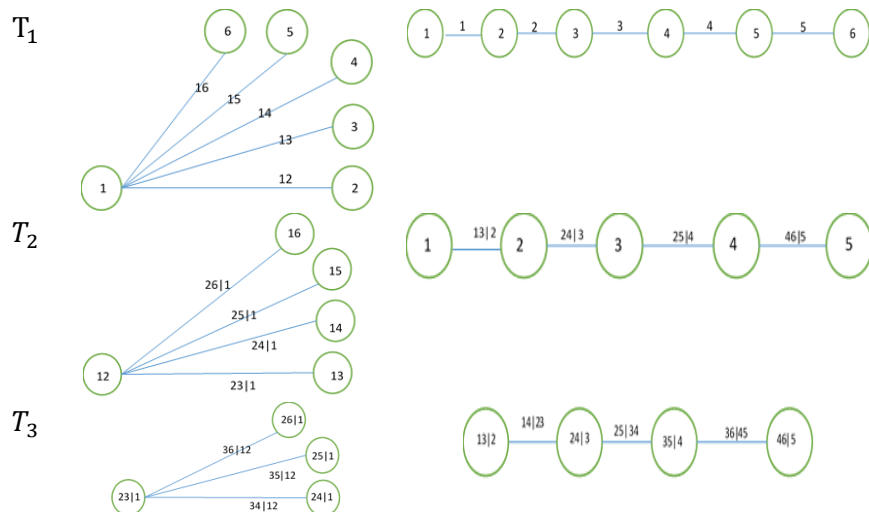
$$F(y) = C \{F_1(y_1), \dots, F_n(y_n)\} \quad (12)$$

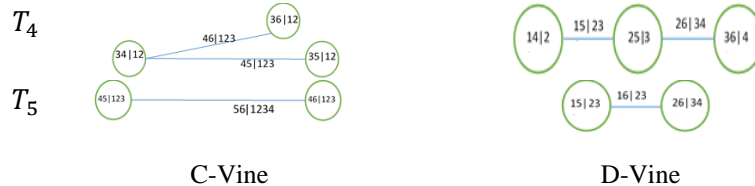
بنابراین کاپیولا  $C$  برای بردار تصادفی  $Y$  تابعی است که توزیع‌های حاشیه‌ای تک‌متغیره را روی توزیع مشترک  $F$  می‌نگارد. به عبارتی می‌توان نوشت  $(F_1, \dots, F_n) \sim F = C(F_1, \dots, F_n)$ . لازم به ذکر است که کاپیولا برای متغیرهای تصادفی پیوسته مقداری منحصر به فرد است.

انواع کاپیولاها و این مدل‌های گرافیکی منعطفی هستند که برای توصیف کاپیولاها چندمتغیره که با استفاده از کاپیولاها تک‌متغیره به صورت آبشاری ساخته می‌شوند که به آنها کاپیولاها جفتی نیز گفته می‌شود که پیش‌تر مورد بحث قرار گرفت.

چنین سازه‌های کاپیولای جفتی (PCC) یکتابع چگالی احتمال چندمتغیره را به کاپیولاها تک‌متغیره تجزیه کرده که هر جفت کاپیولا می‌تواند به صورت مستقل از بقیه کاپیولاها انتخاب شود که این موجب انعطاف‌پذیری بالای مدل‌سازی وابستگی می‌گردد. به طور مشخص، عدم تقارن و وابستگی دنباله‌ای در ایجاد مدلی بهتر در نظر گرفته می‌شود. بنابراین خانواده و این هم مزیت مدل‌سازی کاپیولای چندمتغیره که همان جدایی مدل‌سازی حاشیه‌ای و وابستگی است، و هم مزیت انعطاف‌پذیری کاپیولای دو متغیره را دارد.

در رویکرد کاپیولا و این با وجود  $d$  بعد، تعداد  $d(d-1)/2$  جفت کاپیولا در  $(d-1)$  شاخه متصل در شکل درختی قرار می‌گیرند. بدین ترتیب در مرحله اول ساختار درختی و این مناسب برای مدل‌سازی در نظر گرفته می‌شود. ملاک مناسب بودن ساختار بر اساس داده‌های پژوهش و یا دانش تجربی تعیین می‌گردد. در گام بعدی پس از تعیین ساختار و این مناسب لازم است توابع کاپیولاها انتخاب شده و در مرحله بعد برآش گردند.





شکل ۱. فرم گرافیکی کاپیولا و C-Vine

همان‌گونه که در شکل ۱. فرم گرافیکی کاپیولا C-Vine و D-Vine مدل دی-واین نیز بر اساس انتخاب ترتیب مشخصی از متغیرها ساخته می‌شود. در نمودار درختی اول، وابستگی اولین و دومین متغیر، دومین و سومین متغیر، سومین و چهارمین متغیر، ... با استفاده از کاپیولاها جفتی مدل‌سازی می‌گردد، به‌طوری که مراتب اول تا  $d$  ام با جفت‌های  $(1,2)$ ,  $(2,3)$ ,  $(3,4)$  ... الی آخر مدل می‌شوند. در نمودار درختی دوم، وابستگی شرطی برای اولین و سومین متغیر به شرط متغیر دوم  $(1,3|2)$ ، دومین و چهارمین متغیر به شرط متغیر سوم  $(2,4|3)$  و به همین ترتیب برای مراتب بالاتر مدل‌سازی می‌شود، و به همین ترتیب نیز نمودارهای درختی بعدی، چنین ساختاری منتج به تابع چگالی دی-واین می‌شود که به راحتی تابع چگالی  $d$  بعدی را تجزیه می‌کند. معادله مربوط به آن به شرح زیل است.

$$f(x) = \prod_{k=1}^d f_k(x_k) \times \prod_{i=1}^{d-1} \prod_{j=1}^{d-i} c_{j,j+i:(j+1):(j+i-1)} \left( \frac{F(x_j|x_{j+1}, \dots, x_{j+i-1}),}{F(x_{j+1}|x_{j+1}, \dots, x_{j+i-1})} \theta_{j,j+i:(j+1):(j+i-1)} \right) \quad (13)$$

به منظور دستیابی به تابع چگالی شرطی  $F(x|\theta)$  برای یک بردار  $m$  بعدی  $\theta$  از یک عبارت کاپیولای جفتی در نمودار درختی  $1 + m$  با استفاده از کاپیولای جفتی درخت‌های قبل  $1, \dots, m$  و با اعمال مکرر این ارتباط استفاده می‌شود.

$$h(x|\theta, \theta) := F(x|\theta) = \frac{\partial C_{x\theta_j|\theta_{-j}}(F(x|\theta_{-j}), F(\theta_j|\theta_{-j})|\theta)}{\partial F(\theta_j|\theta_{-j})} \quad (14)$$

که در این عبارت  $\theta$  عنصری دلخواه از  $\theta$  و  $\theta_{-j}$  بدانگر بردار  $1 - m$  بعدی است که  $\theta_j$  در آن وجود ندارد (جو، ۱۹۹۷). همچنین  $C_{x\theta_j|\theta_{-j}}$  تابع چگالی کاپیولای دو متغیره با پارامتر(های)  $\theta$  است که در درخت  $m$  مشخص است.

### تصویری مدل کاپیولا واین

پیش از تصریح مدل سی-واین یا دی-واین ابتدا مرتبه متغیرها را مشخص می‌نماییم. در مدل دی-واین با استنکشن ترتیب متغیرها در اولین درخت انتخاب گردند. با توجه به این که ابتدا باید وابستگی بین بازدههای سهم‌ها با یکدیگر و نیز شکاف با یکدیگر بررسی شود، انتخاب دی واین از سی واین مناسب‌تر است. زیرا برای سی واین باید در همان ابتدا یک متغیر کلیدی از بین همه متغیرهای موجود به عنوان گره پایه معرفی شود. اما در نوع دی واین، مدل‌سازی وابستگی شرطی بین شکاف مظنه خرید و فروش سهم‌ها با یکدیگر در سطوح بعدی مورد بررسی قرار می‌گیرد. مضافاً در نوع دی واین تنها ساختار درختی سطح اول تعیین می‌شود و بقیه سطوح مطابق آن تعیین می‌شوند.

#### تخمین مدل کاپیولا

پس از انتخاب ساختار سی-واین یا دی-واین، با استنکشن خانواده کاپیولای جفتی برای هر جفت متغیر مشخص گردد. با استفاده از مجموعه داده‌ها ورودی و نوع واین توابع کاپیولای دومتغیره مناسب از میان مجموعه توابع کاپیولاها ممکن مطابق با معیار اطلاعاتی آکائیک<sup>۱</sup> انتخاب می‌گردد. همچنین آزمون‌های استقلال مقدماتی برای هر جفت به منظور دستیابی به مدلی بهتر با متغیرهای کمتر انجام می‌شود. این فرایند انتخاب کاپیولا به صورت درخت به درخت پیش می‌رود. از آن جایی که جفتهای شرطی در درخت‌های  $1 - t, 2, \dots, t$  به درخت‌های پیشین بستگی دارد، کاپیولاها سی-واین و دی-واین به صورت متوالی و درخت به درخت تخمین می‌خورد. تخمین پارامترهای هر جفت کاپیولا با استفاده از معکوس Kendall's یا تخمین حداکثر درست نمایی MLE انجام می‌گیرد.

تخمین‌های متوالی بالا می‌تواند برآش مناسبی تأمین کند، برای حداکثرنمایی لگاریتم درست‌نمایی ویژگی‌های کاپیولای دی-واین، برای مشاهدات:

$$u = (u_{k,j}) \quad k = 1 \dots N \quad j = 1, \dots, d:$$

لگاریتم درست‌نمایی با مجموعه پارامترهای  $\theta_{DV}$  به صورت زیر محاسبه می‌گردد:

رابطه ۱۶

$$\ell_{DV}(\theta_{DV}|u) = \sum_{k=1}^N \sum_{i=1}^{d-1} \sum_{j=1}^{d-i} \log [c_{j,j+i|(j+1):(j+i-1)}(F_{j|(j+1):(j+i-1)}, F_{j+i|(j+1):(j+i-1)})]$$

که در آن  $F_{j|i_1:i_m} = F(u_{k,j}|u_{k,i_1}, \dots, u_{k,i_m})$  و توزیع‌های حاشیه‌ای نیز دارای ویژگی یکنواخت‌اند به طوری که  $f_k(u_k) = 1_{[0,1]}(u_k)$ . از سویی  $F_{j|i_1:i_m}$  تابعی از پارامترهای جفتهای کاپیولا در درخت یک تا درخت  $t_m$  است.

#### جدول ۱. توابع کاپیولای جفتی مورد استفاده در مدل‌سازی کاپیولا واین

وابستگی دنبالهای	تاو کندال	دامنه پارامتر	تابع مولد	تابع کاپیولا
0	$\frac{2}{\pi} \arcsin(\theta)$	$\theta \in (-1, 1)$	$\Phi_2(\Phi^{-1}(u), \Phi^{-1}(v); \theta)$	N گاوی
$(2^{-\frac{1}{\theta}}, 0)$	$\frac{\theta}{\theta+2}$	$\theta > 0$	$\frac{1}{\theta}(t^\theta - 1)$	C کلابتون
$(0, 2 - 2^{\frac{1}{\theta}})$	$1 - \frac{1}{\theta}$	$\theta \geq 1$	$(-\log t)^\theta$	G گامبل
(0,0)	$1 - \frac{4}{\theta} + 4 \frac{D_{1(\theta)}}{\theta}$	$\theta \in \mathbb{R} \setminus \{0\}$	$-\log \left[ \frac{e^{-\theta t} - 1}{e^{-\theta} - 1} \right]$	F فرانک
$(0, 2 - 2^{\frac{1}{\theta}})$	$1 + \frac{4}{\theta^2} \int_0^1 t \log(t)(1 - t)^{2(1-\theta)/\theta} dt$	$\theta > 1$	$-\log[1 - (1-t)^\theta]$	J جو

در جدول ۱. توابع کاپیولا جفتی مورد استفاده در مدل‌سازی کاپیولا و اینجدول ۱ توابع کاپیولا جفتی مورد استفاده در پژوهش، تابع مولد هر یک، دامنه پارامتر مدل و علاوه بر آن چگونگی مدل‌سازی وابستگی‌های غیرخطی دنبالهای هر یک مورد اشاره قرار گرفته است.

### تجزیه و تحلیل داده‌ها و آزمون فرضیه‌ها

#### داده‌های پرسامد طی روز و پالایش داده‌ها

از آنجا که بازارهای مالی منبع داده‌های پرسامد هستند، درک بهتر آنها نیازمند انجام پژوهش‌های مبتنی بر داده‌های پروفوایی است. اما به دلیل زمان بر و هزینه بر بودن گردآوری، تطبیق، ذخیره‌سازی و کار روی داده‌های پروفوایی، اغلب پژوهش‌های حوزه مالی مبتنی بر داده‌های کم فراوانی و حداقل در سطح روزانه، صورت می‌پذیرند. از سویی، اغلب مدل‌های آماری و اقتصادستنجه برای داده‌های همگن (دارای فواصل یکسان زمانی) طراحی شده‌اند، و برای تطبیق روش‌های فعلی با شرایط داده‌های پرسامد مطالعات کمی صورت گرفته است.

همچنین، اغلب منابع داده‌های پرسامد دارای برخی داده‌های نامناسب هستند. بنابراین، تمیز کردن داده‌ها امری زمان بر و پیچیده و در عین حال به دلیل تنوع خطاها احتمالی و منشا آنها، تنوع مشخصه‌های آماری متغیرهای بازاش شده (شامل شکستهای ساختاری، تابع توزیع، رفتارهای شرطی و ...)، تنوع منشا داده‌ها، بازه‌های زمانی غیرهمگن، بعضًا خلاً داده در بازه‌های زمانی طولانی، ضروری است.

در پژوهش حاضر با توجه به شکل شبکه<sup>۱</sup> زمانی بررسی داده‌های مظنه خرید و فروش ۵۰ سهم بهطور همزمان که در فواصل زمانی ۵ دقیقه‌ای طی روز در طول یک سال است، تمیز کردن داده‌ها موضوع پیچیده‌تری بهشمار می‌رود. در بررسی داده‌های پژوهش مشخص شد در برخی از بازه‌های زمانی مظنه‌ها بنا به دلایلی نظری محدودیت‌های دامنه نوسان و تشکیل صف، توقف نماد یک سهم بنا به دلایلی نظری مجمع عمومی عادی و فوق العاده یا نوسان خارج از محدوده مجاز، تکرار داده‌ها بدون تغییر هیچ یک از متغیرها، دارای داده نامناسب هستند. به دلیل آن که در نهایت داده‌ها جهت مدل‌های سری زمانی شامل مدل‌سازی نقدشونگی، بازده‌های لگاریتمی و کاپیولا و این طی روز جهت مدل‌سازی مشترکات آنها مورد

استفاده قرار خواهد گرفت. بنابراین در شکه زمانی بازه‌های زمانی ۵ دقیقه‌ای طی روز مورد نظر در نهایت هر ۱۵ سهمی که در پژوهش مورد استفاده قرار می‌گیرند بایستی دارای مظنه خرید و فروش غیر صفر مناسب باشند.<sup>۱</sup> با توجه به بررسی همزمان سهم‌ها بر اساس مدل‌های مورد مطالعه چنان‌چه در بازه زمانی ۵ دقیقه‌ای زام از روز ۱ام برای سهم k ام داده مظنه صفر یا نامناسب باشد، بازه زمانی ۵ دقیقه‌ای مزبور را از میان داده‌ها برای تمام سهم‌ها حذف می‌نماییم تا در تناظر زمانی بین سهم‌ها اشکالی ایجاد نگردد. همچنین به جهت بررسی زمان معاملات با توجه به این که زمان معاملات بازار سهام بر روی نماد شرکت‌ها بین ساعت ۹ تا ۱۲:۳۰ ظهر است، در این محدوده به ازای بازه‌های ۵ دقیقه‌ای برای هر سهم طی روز ۴۳ داده خواهیم داشت.

پس از بررسی داده‌های سال ۱۳۹۸ در بازه زمانی مورد مطالعه که از تاریخ ۵ فروردین سال ۱۳۹۸ تا ۲۸ اسفند ۱۳۹۸ بوده است، برای ۵۰ شرکت برتر بورس در سه ماهه چهارم سال ۱۳۹۸ که بر پایه معیارهای نقدشوندگی سهام، میزان تأثیرگذاری بر بازار و برتری نسبت‌های مالی از مدیریت فناوری بورس تهران دریافت شد، تعداد روزهایی که سهم‌ها، داده‌های نامناسب نظیر صفر دارند مقایسه شد، و ۱۵ سهم دارای کمترین میزان داده‌های حذفی به شرح زیر انتخاب شدند.

جدول ۲. سهم‌های مورد مطالعه

p-value R <sub>SS</sub>	R <sub>12</sub>	S <sub>12</sub>	نحوه معرفی		نام شرکت	
			R	S		
.000	۴۹۲۱-۴۰/۹	۴۳۹۸۸۶۳/۷	۱۶	۱	محصولات شیمیایی	پارسان
.000	۴۹۲۱-۴۰/۹	۴۳۹۸۸۶۳/۷	۱۷	۲	محصولات شیمیایی	تابیکو
.000	۴۹۲۱-۴۰/۹	۴۳۹۸۸۶۳/۷	۱۸	۳	خودرو و ساخت قطعات	خسایا
.000	۴۹۲۱-۴۰/۹	۴۳۹۸۸۶۳/۷	۱۹	۴	خودرو و ساخت قطعات	خودرو
.000	۴۹۲۱-۴۰/۹	۴۳۹۸۸۶۳/۷	۲۰	۵	فراورده‌های نفتی	شیریز
.000	۴۹۲۱-۴۰/۹	۴۳۹۸۸۶۳/۷	۲۱	۶	فراورده‌های نفتی	شبندر
.000	۴۹۲۱-۴۰/۹	۴۳۹۸۸۶۳/۷	۲۲	۷	فراورده‌های نفتی	شپنا
.000	۴۹۲۱-۴۰/۹	۴۳۹۸۸۶۳/۷	۲۳	۸	فراورده‌های نفتی	شتران
.000	۴۹۲۱-۴۰/۹	۴۳۹۸۸۶۳/۷	۲۴	۹	فلزات اساسی	فخوز
.000	۴۹۲۱-۴۰/۹	۴۳۹۸۸۶۳/۷	۲۵	۱۰	فلزات اساسی	فملی
.000	۴۹۲۱-۴۰/۹	۴۳۹۸۸۶۳/۷	۲۶	۱۱	فلزات اساسی	فولاد
.000	۴۹۲۱-۴۰/۹	۴۳۹۸۸۶۳/۷	۲۷	۱۲	استخراج کانه‌های فلزی	کگل
.000	۴۹۲۱-۴۰/۹	۴۳۹۸۸۶۳/۷	۲۸	۱۳	مخابرات	همراه
					شرکت ارتباطات سیار ایران	

۱. یکی از موقعی که داده نامناسب تشخیص داده شد، زمانی بود که اطلاعات حجم، تعداد و مظنه برای خرید و فروش در چند بازه زمانی متولی بدون تغییر باقی مانده بود، با توجه به نقدشونده بودن و پرمعامله بودن ۵۰ سهم اخذ شده این موضوع مورد بررسی قرار گرفت و مشخص شد در برخی از زمانهاییکه نماد متوقف شده است سامانه آخرین سفارش‌های پیش از آن را تکرار می‌کند

۰/۰۰	۴۹۲۱۰۴۰/۹	۴۳۹۸۸۶۳/۷	۲۹	۱۴	شرکت‌های چند رشته‌ای	سرمایه‌گذاری گروه توسعه ملی	وبانک
۰/۰۰	۴۹۲۱۰۴۰/۹	۴۳۹۸۸۶۳/۷	۳۰	۱۵	شرکت‌های چند رشته‌ای	هلدینگ سرمایه‌گذاری غدیر	وغدیر

همان‌گونه که ملاحظه می‌شود ۱۵ سهم انتخابی نهایی مندرج در جدول بالا، از یک سو نمادهای رقیب درون صنعتی نظیر سهم‌های موجود از گروه محصولات شیمیایی، گروه فراورده‌های نفتی، فلزات اساسی یا شرکت‌های چند رشته‌ای را در بر می‌گیرد. از سویی، سهم‌هایی از گروه‌های صنعتی غیر مشابه را شامل می‌شود و این به متکثر ساختن سبد سهام کمک نموده است.

سبد انتخابی از ۱۵ سهم هم وزن تشکیل شده است. بدین ترتیب ۱۵ شکاف و ۱۵ بازده لگاریتمی به طور همزمان مورد بررسی قرار گرفته است. هر شکاف و بازده لگاریتمی به صورت جداگانه و بهشیوه‌ای که پیش‌تر توضیح داده شد تک متغیره مدل شده است. در گام بعدی ساختار وابستگی چند متغیره آنها با استفاده از توابع کاپیولای واین ۳۰ بعدی با روش حداکثر درستنمایی و با انتخاب جفت‌های کاپیولایی از روش AIC تخمین زده شده است.

با عنایت به توضیحات بخش جاری و با آماده‌سازی داده‌ها بر اساس محدودیت‌های تمیزسازی و اعمال بازه زمانی مذکور، برای مظنه خرید یا فروش و بازدهی هر سهم، تعداد ۵۴۰۰ مشاهده وجود دارد که در مجموع ۱۵ سهم تعداد ۱۶۲۰۰۰ مشاهده برای ۳۰ متغیر مورد مطالعه قرار گرفته است.

آماره‌های توصیفی داده‌های شکاف و بازده لگاریتمی هر یک از سهم‌های مورد بررسی قرار گرفت. اما با توجه به تعداد بالای به گزارش نتایج تست‌های جارک-برا برای بررسی نرمال بودن سری زمانی هر یک از متغیرهای شکاف و بازده لگاریتمی در جدول ۲. سهم‌های مورد مطالعه اکتفا شده است. با توجه به این که این آماره در تمام سری‌های بالا از مقادیر بحرانی بزرگ‌تر است و  $p-value < 0.001$  فرضیه نرمال بودن رد می‌شود. بنابراین رویکرد ACP برای مدل‌سازی شکاف و GARCH برای بازده لگاریتمی با در نظر گرفتن واریانس شرطی را تأیید شد.

#### بررسی شواهد همبستگی مقدشوندنگی و بازده

به جهت تعداد بالای متغیرهای مورد مطالعه و فضای مورد نیاز برای ارائه نتایج، امکان گزارش برخی از بررسی‌ها به صورت کامل وجود ندارد. بنابراین به تشریح نتایج بررسی‌های مدل‌سازی شده بسنده شده است. نتایج آزمون همبستگی خطی پیرسون<sup>۱</sup> برای بررسی همبستگی خطی بین فاصله‌های مظنه خرید و فروش ۱۵ سهم بین ۶ تا ۲۱ درصد بوده که در مورد همبستگی برخی سهم‌ها در سطح ۰/۰۵ بسیار معنادار است. همچنین نتایج آزمون همبستگی پیرسون بین بازده‌های سهم‌های مختلف در بازه (۰/۰۲ و -۰/۰۲) بود که برای برخی سهم‌های این بازه در سطح ۰/۰۵ بسیار معنادار است. نتایج آزمون همبستگی پیرسون برای بررسی همبستگی بین بازدهی و شکاف هر سهم با خودش برای کلیه سهم‌ها به استثنای وغدیر و شتران در سطح ۰/۰۵ درصد معنادار است و برای شتران در سطح ۰/۱ معنادار است. همچنین بین برخی سهم‌ها

با یکدیگر، بازدهی رابطه همبستگی معناداری با شکاف دارد. تحلیل ضرایب همبستگی فوق نشان دهنده آن است که همبستگی بین بازدها و نقدشوندگی‌ها برای پیش‌بینی‌های معیارهای تعديل شده با نقدشوندگی نظری ریسک نقدشوندگی باید با مدل‌های توزیع توامان انجام گیرد.

در ادامه، نتایج آزمون همبستگی<sup>۱</sup> اشمیت و اشمید<sup>۲</sup> (۲۰۰۷) ناحیه دنباله بررسی شده که نشان داد همبستگی بین نقدشوندگی سهم‌های مختلف در ناحیه دنباله چپ بسیار معنادار است. به نحوی که آماره همبستگی بین بازه (۰/۱۷ و ۰/۶۵) قرار می‌گیرد که نشان دهنده همبستگی بسیار شدید در ناحیه دنباله پایینی است. همچنان آماره همبستگی ناحیه دنباله پایینی بین بازدهی سهم‌های مختلف مورد ارزیابی قرار گرفت که در بازه بین (۰/۰۱ و ۰/۰۲۶) قرار دارد. مجدداً در سطح ۰/۰۵ همبستگی معناداری برای اغلب موارد وجود دارد. در ادامه بررسی آزمون همبستگی بین نقدشوندگی و بازدهی سهم‌های مختلف در ناحیه دنباله پایینی، آماره مربوطه در بازه (۰/۰۲ و ۰/۰۱۹) قرار گرفت که مجدداً نشان دهنده همبستگی معنی‌داری در سطح ۰/۰۵ بین تمام سهم‌ها است.

آزمون همبستگی ناحیه دنباله برای دنباله بالا به روش اشمیت و اشمید (۲۰۰۷) نیز نشان داد همبستگی دنباله بالا در بین نقدشوندگی ۱۰ درصد جفت سهم‌ها در بازه (۰/۰۵ و ۰/۳۲) قرار گرفته و آماره برای مابقی بسیار کمتر بودو بنابراین اغلب سهم‌ها عناندار نیست. از سویی، نتایج آزمون همبستگی دنباله برای دنباله بالا بین بازدهی و نقدشوندگی خود آن سهم برای بیش از ۹ سهم بسیار معنادار است، و بین بازدهی یک سهم با نقدشوندگی سایر سهم‌ها در بازه (۰/۱۲ و ۰/۰۲) قرار دارد و برای اغلب آنها معنادار نیست. در همین حال همبستگی ناحیه دنباله بالا برای بیش از ۵۰ درصد جفت متغیرهای بین سهم‌های بالای بین (۰/۱ و ۰/۰۲۸) و معنادار است.

شواهد بالا نشان دهنده وجود همبستگی سطح بالا بین نقدشوندگی سهم‌های متفاوت به صورت خطی و علی‌الخصوص اشتراکات روند و همبستگی شدید غیرخطی دنباله‌ای بین نقدشوندگی و بازدهی سهم‌های مختلف سبد سهام مورد بررسی از صنایع مختلف است. وجود این نوع همبستگی در ارزیابی‌های مرتبط با نقدشوندگی مربوط به سبد سهام حائز اهمیت بسیاری است. چرا که ناید گرفتن چنین همبستگی قوی به ارزیابی‌های سوء‌دار نسبت به ریسک نقدشوندگی در سرمایه‌گذاران منجر خواهد شد. در ادامه با در دست داشتن شواهد موثر و کافی از همبستگی غیرخطی بین بازدهی و نقدشوندگی سهم‌های گوناگون، توزیع مشترک بازدهی و نقدشوندگی سبد سهام مدل‌سازی شده است.

برای مدل‌سازی توزیع مشترک بازدهی و نقدشوندگی سبد سهام، ابتدا پارامترهای توزیع ACP برای مدل‌سازی نقدشوندگی و مدل GARCH برای توزیع بازده لگاریتمی تخمین زده است. سپس توزیع پسماندهای هر دو مدل مزبور برای مدل‌سازی توامان نقدشوندگی و بازدهی با استفاده از واين کاپیولای نوع D مورد استفاده گرفته‌اند. بدین ترتیب آزمون‌های دیگری بنا به اقتضا استفاده شده که به اختصار به آنها اشاره می‌شود. بررسی آزمون دیکی فولر تعمیم‌یافته برای فرض صفر وجود ریشه واحد ADF<sup>۳</sup> برای

1. Nonparametric Estimator  
 2. Schmid & Schmidt  
 3. Augmented Dickey-Fuller Test

کلیه سری‌های زمانی بازدهی لگاریتمی و شکاف در سطح  $0/05$  رد می‌شود و مoid مانا بودن سری‌های زمانی مورد مطالعه است. همچنین برای استفاده از مدل گارج لازم است وجود اثر آرج در سری‌های زمانی بازدهی مورد بررسی قرار گیرد، که نتایج آزمون مولتی پلایر لاجرانژ<sup>۱</sup> برای بررسی اثر ناهمسانی واریانس شرطی انگل (۱۹۸۲) در سطح  $0/05$  نشان دهنده رد فرض صفر مبنی بر عدم وجود ناهمسانی واریانس شرطی و تأیید اثر آرج بود. **Error! Reference source not found.** بر اساس مدل‌های ACP برای شکاف و GARCH برای بازدهی‌های لگاریتمی هر سهم به شرح جدول ۳ است.

در **Error! Reference source not found.** پارامترهای مدل‌های توزیع شکاف و بازدهی لگاریتمی هر سهم ارائه شده است. برای شکاف هر یک از سهم‌های  $k$  مدل ACP با استفاده از روش حداقل درستنمایی تخمین زده شد تا  $\omega_k, \alpha_1, \beta_k$  که در برگیرنده پارامترهایتابع چگالی شرطی خودگرسیو شکاف مبنیه خرد و فروش است برآورده شود. همچنین پارامترهای مدل یعنی مقادیر  $\omega$  و  $\alpha^k$  و  $\beta^k$  از طریق روش حداقل درستنمایی برای GARCH(1,1) تخمین زده شد. بررسی آزمون‌های مانایی و بررسی نرمالیتی جارک-برا، خودهمبستگی لی جونگ-باکس<sup>۲</sup> و اثر آرج برای پسماندهای مدل گارج نشان دهنده بازیابی مناسب GARCH(1,1) دارد.

جدول ۳. تخمین پارامترهای مدل‌های نقدشوندگی و بازدهی

GARCH parameter			ACP parameter			سهم
$\beta_1^k$	$\alpha_1^k$	$\omega_k$	$\beta_k$	$\alpha_k$	$\omega_k$	
۰/۴۳	۰/۴۲	۱/۴۶	۰/۵۲	۰/۳۴	۳/۰۱	پارسان
۰/۷۱	۰/۱۱	۵/۸۷	۰/۵۰	۰/۲۸	۱/۴۰	تایپکو
۰/۶۹	۰/۱۰	۵/۴۷	۰/۵۷	۰/۲۷	۱/۰۲	خسپا
۰/۷۱	۰/۱۰	۲/۶۶	۰/۴۰	۰/۵۶	۳/۱۹	خودرو
۰/۸۰	۰/۱۰	۱/۵۶	۰/۵۶	۰/۳۶	۱۷/۶۱	شبریز
۰/۸۶	۰/۱۱	۲/۶۷	۰/۳۶	۰/۵۰	۱۰/۷۶	شبیند
۰/۷۲	۰/۱۱	۲/۵۷	۰/۷۱	۰/۲۳	۰/۸۲	شبنا
۰/۶۷	۰/۱۰	۶/۹۷	۰/۶۵	۰/۲۶	۰/۹۹	شتران
۰/۶۸	۰/۱۰	۴/۷۷	۰/۵۲	۰/۳۴	۳/۲۹	فخوز
۰/۸۰	۰/۱۵	۱/۵۷	۰/۵۷	۰/۳۷	۱/۲۵	فلی
۰/۶۴	۰/۲۹	۲/۴۷	۰/۵۲	۰/۳۶	۰/۶۹	فولاد
۰/۳۱	۰/۵۸	۶/۸۷	۰/۵۵	۰/۳۴	۱/۴۲	کل
۰/۸۱	۰/۱۰	۰/۰۰	۰/۴۲	۰/۵۳	۹/۲۵	همراه
۰/۶۹	۰/۱۰	۱/۷۶	۰/۲۹	۰/۵۷	۲/۹۳	وبانک
۰/۵۴	۰/۲۳	۱/۵۶	۰/۲۴	۰/۶۵	۰/۸۰	وغدیر

منبع: یافته‌های پژوهش

گزارش تا سطح درخت دوم در مدل سازی کاپیولا از توزیع توامان بازدهی و نقدشوندگی ۱۵ سهم مورد مطالعه در جدول ۴ قابل مشاهده است. در اینجا توابع جفتی برآورده شده برای هر جفت کاپیولا بر حسب نمادهای توابع جفتی مندرج در جدول ۱ حاصل از نتایج این مدل سازی بر وجود همبستگی قوی دنبالهای در بین جفت متغیرهای مورد بررسی قرار گرفته که نتایج نشان داد در سطح اول ساختار درختی کاپیولا، ۲۱ مورد از ۳۰ مورد تابع برآرش شده برای جفت متغیرها از خانواده‌های گامبل و کلایتون هستند و دارای ضرایب همبستگی غیرخطی دنبالهای قوی هستند. در سطح دوم ساختار درختی دی-واین کاپیولا از بین ۲۷ تابع کاپیولا برآورده شده برای جفت متغیرها به قید یک متغیر شرطی ۲۲ مورد از توابع برآرش شده از خانواده‌های گامبل و کلایتون هستند و دارای ضرایب همبستگی غیرخطی دنبالهای قوی هستند. علاوه‌بر این گزارش ضریب همبستگی تاوی کندال<sup>۱</sup> برای هر یک از تخمین‌های صورت گرفته نیز جهت ارزیابی میزان همبستگی گزارش شده که موبید همبستگی قوی میان متغیرهای مورد مطالعه است.

جدول ۴. مشخصات تابع توزیع مشترک کاپیولا برای شکاف و بازده

سطح درخت	گره	کاپیولا جفتی	نوع توزیع کاپیولا	پارامتر $\theta$	تاو کندال	وابستگی دنبالهای پالایی	وابستگی دنبالهای پالایی
۱	۲۱	۵	F	۶۵/۱۲	۰/۹۴	.	.
۱	۳۲	۴	G	۵/۱۱	۰/۸۰	۰/۸۵	.
۱	۳۴	۴	G	۴/۳۴	۰/۷۷	۰/۸۳	.
۱	۴۵	۴	G	۴/۶۰	۰/۷۸	۰/۸۴	.
۱	۵۶	۳	C	۰/۸۶	۰/۳۰	.	۰/۴۵
۱	۶۷	۱	N	۰/۶۵	۰/۴۵	.	.
۱	۷۸	۴	G	۳/۶۶	۰/۷۳	۰/۷۹	.
۱	۸۹	۴	G	۴/۰۴	۰/۷۵	۰/۸۱	.
۱	۹۱۰	۱	N	۰/۶۹	۰/۱۹	.	.
۱	۱۰۱۱	۳	C	۰/۸۹	۰/۳۱	۰/۴۶	.
۱	۱۱۱۲	۴	G	۴/۷۵	۰/۷۹	۰/۸۴	.
۱	۱۲۱۳	۴	G	۳/۹۰	۰/۷۴	۰/۸۱	.
۱	۱۳۱۴	۳	C	۰/۸۵	۰/۳۰	۰/۴۴	.
۱	۱۴۱۵	۱	N	۰/۶۲	۰/۱۲	.	.
۱	۱۵۱۶	۱	N	۰/۶۲	۰/۱۳	.	.
۱	۱۶۱۷	۵	F	۶۵/۱۱	۰/۹۴	.	.
۱	۱۷۱۸	۴	G	۵/۱۱	۰/۸۰	۰/۸۵	.
۱	۱۸۱۹	۴	G	۴/۳۴	۰/۷۷	۰/۸۳	.
۱	۱۹۲۰	۴	G	۴/۶۰	۰/۷۸	۰/۸۴	.
۱	۲۰۲۱	۳	C	۰/۸۶	۰/۳۰	۰/۴۵	.
۱	۲۱۲۲	۱	N	۰/۶۵	۰/۱۵	.	.
۱	۲۲۲۳	۴	G	۳/۶۶	۰/۷۳	۰/۷۹	.
۱	۲۳۲۴	۴	G	۴/۰۴	۰/۷۵	۰/۸۱	.
۱	۲۴۲۵	۱	N	۰/۶۹	۰/۱۹	.	.

1. Kendall's tau

۰/۴۶	۰	۰/۳۱	۰/۸۹	C	۳	۲۵,۲۶	۱
۰	۰/۸۴	۰/۷۹	۴/۷۵	G	۴	۲۶,۲۷	۱
۰	۰/۸۱	۰/۷۴	۳/۹۰	G	۴	۲۷,۲۸	۱
۰/۴۴	۰	۰/۳۰	۰/۸۵	C	۳	۲۸,۲۹	۱
۰	۰	۰/۴۲	۰/۶۲	N	۱	۲۹,۳۰	۱

منبع: یافته‌های پژوهش

## نتیجه‌گیری و بحث

علاوه و شواهد متعددی در بحران‌های مالی نشان می‌دهد که ریسک نقدشوندگی کمتر از میزان واقعی تخمین زده می‌شود. در نتیجه در نظر گرفتن ریسک نقدشوندگی در محاسبه ریسک پرتفوی شرکت‌های سرمایه‌گذاری، بانک‌ها، موسسات مالی و ... باعث به دست آمدن تخمین دقیق‌تری از ریسک و کاهش هزینه‌های ناشی از تخمین‌های غیردقیق می‌گردد. لکن با توجه به هزینه‌های ناشی از نادیده انگاشتن ریسک نقدشوندگی، پیش‌نیاز تخمین مناسب از ریسک نقدشوندگی مدل‌سازی مناسب همبستگی نقدشوندگی و بازدهی است تا امکان ارزیابی ساخته‌هایی از ریسک نظیر ارزش در معرض خطر تعديل شده با نقدشوندگی با دقت بالاتر فراهم گردد. همان‌گونه که نشان داده شد مدل‌سازی چند متغیره کاپیولای واین می‌تواند توزیع توأم نقدشوندگی و بازدهی بین سهم‌های متعدد را حتی در ابعاد بالا و حتی نیز با اتکا بر داده‌های پربسامد درون روز به خوبی تخمین زند نماید. این پژوهش نخستین پژوهش در زمینه بررسی اشتراکات بازدهی و نقدشوندگی بر اساس داده‌های پربسامد در ابعاد بالا است و همچنین نخستین مطالعه بررسی تجربی بورس تهران است. یافته‌های این پژوهش با یافته‌های کریولی و همکاران (۲۰۱۲) دال بر وجود سطح بالای مشترکات در نقدشوندگی همخوانی دارد. بنابراین، با عنایت به توسعه بازار سرمایه در سال‌های اخیر و ورود فرایندهای سهامداران خرد که بالقوه توأمی تأمین سطح بالای نقدشوندگی را نظیر نهادهای مالی بازارگردانی ندارند، ارزیابی مناسب ریسک تعديل شده با نقدشوندگی به واسطه مدل‌سازی ساختار وابستگی نقدشوندگی و بازدهی را امری ضروری می‌نماید. ارائه مدلی برای بهبود ارزیابی ناظران بازار سرمایه از ریسک نقدشوندگی از یک سو و نیز برای سرمایه‌گذاران پربسامد که امروزه به مدد توسعه فناوری‌های زیرساختی بازار سرمایه حائز اهمیت است. از این رو پیشنهاد می‌شود پژوهش‌های آینده به منظور توسعه فناوری‌های مالی بر استفاده از مدل‌سازی توأمی ارائه شده برای ابعاد بالای سهام در ارزیابی ریسک نقدشوندگی متمرکز شوند. همچنین جامع سازی این مدل‌سازی و توسعه آن برای کاربرد در ارزیابی‌های ریسک نقدشوندگی و ارائه داده‌های مناسب جهت مدیریت ریسک به نهاد ناظر بازار می‌تواند سودمند باشد. چرا که در ارزیابی مناسب ریسک نقدشوندگی برای کلیه نهادهای بازار سرمایه، موسسات مالی و بانکی موثر است.

## ملاحظات اخلاقی:

حامی مالی: مقاله حامی مالی ندارد.

مشارکت نویسنده‌گان: تمام نویسنده‌گان در آماده‌سازی مقاله مشارکت داشته‌اند. ۱۹

تعارض منافع: بنا بر اظهار نویسنده‌گان در این مقاله هیچ‌گونه تعارض منافعی وجود ندارد.

تعهد کپی‌رایت: طبق تعهد نویسنده‌گان حق کپی‌رایت رعایت شده است.

## منابع

- Bollerslev, T. (1986). Generalized autoregressive conditional heteroskedasticity. *Journal of Econometrics*, 31(3), 307-327.
- Cattivelli, L. & Pirino, D. (2019). A SHARP model of bid–ask spread forecasts. *International Journal of Forecasting*, 35(4), 1211-1225.
- Chordia, T., Roll, R. & Subrahmanyam, A. (2000). Commonality in liquidity. *Journal of Financial Economics*, 56(1), 3–28.
- Daul, S., De Giorgi, E. G., Lindskog, F. & McNeil, A. (2003). The Grouped t-Copula with an application to credit risk. <http://dx.doi.org/10.2139/ssrn.1358956>
- Engle, R. (1982). Autoregressive conditional heteroskedasticity with estimates of the variance of U.K. inflation, *Econometrica*, 50, 987–1008.
- Embrechts, P., Lindskog, F. & McNeil, A. J. (2001). Modelling dependence with Copulas and applications to risk management. Department of Mathematics, Z'urich. [www.math.ethz.ch/finance](http://www.math.ethz.ch/finance).
- Giot, P. (2005). Market risk models for intraday data. *The European Journal of Finance*, 11(4), 309-324.
- Gong, Y., Chen, Q. & Liang, J. (2018). A mixed data sampling copula model for the return-liquidity dependence in stock index futures markets. *Economic Modelling*, 68(C), 586-598.
- Groß-KlubMann, A. & Hautsch, N. (2013). When machines read the news: Using automated text analytics to quantify high frequency news-implied market reactions. *Journal of Empirical Finance*, 18(2), 321-340.
- Hasbrouck, J. & Seppi, D. J. (2001). Common factors in prices, order flows and liquidity. *Journal of Financial Economics*, 59 (3), 383-411.
- Heinen, A. (2003). Modelling time series count data: an autoregressive conditional Poisson model. *MPRA paper\_8113.pdf*.
- Huberman, G. & Halka, D. (2001). Systematic liquidity. *Journal of Financial Research*, 24(2), 161–178.
- Joe, H. (1997). Multivariate models and multivariate dependence concepts. Chapman and Hall/CRC Press, 1st Edition.
- Karolyi, G. A., Lee, K. H. & Van Dijk, M. A. (2012). Understanding commonality in liquidity around the world. *Journal of Financial Economics*, 105(1), 82-112.
- Krupskii, P. & Joe, H. (2020). Flexible copula models with dynamic dependence and application to financial data. *Econometrics and Statistics*, 16, 148-167.
- Malcencie, L., Malcencieks, K. & Putniņš, T. J. (2019). High frequency trading and comovement in financial markets. *Journal of Financial Economics*, 134(2), 381-399.
- Moshirian, F., Qian, X., Wee, C. K. G. & Zhang, B. (2017). The determinants and pricing of liquidity commonality around the world. *Journal of Financial Markets*, 33(C), 22-41.
- Palaro, H. P. & Hotta, L. K. (2006). Using conditional copula to estimate value at risk. *Journal of Data Science*, 4(1), 93-115.
- Schmid, F. & Schmidt, R. (2007). Multivariate conditional versions of Spearman's rho and related measures of tail dependence. *Journal of Multivariate Analysis*, 98(6), 1123-1140.
- Sklar, M. (1959). Fonctions de répartition à n dimensions et leurs marges. Publications de l'Institut Statistique de l'Université de Paris, 8, 229-231.
- Weiß, G. N. & Supper, H. (2013). Forecasting liquidity-adjusted intraday value-at-risk with vine copulas. *Journal of Banking & Finance*, 37(9), 3334-3350.
- Xu, C. & Chen, H. (2012). Measuring portfolio value at risk. Lund University-Department of Economics. 1-55.
- Zeger, S. L. (1988). A regression model for time series of counts. *Biometrika* 75(4), 621–629.